

6 Ледовые условия на Дальневосточных морях

Суровость зимних условий в регионе можно проследить по поведению такой характеристики, как ледовитость моря (рис. 6-1–6-3). Графики ледовитости построены на основе средней декадной ледовитости в % относительно общей площади моря для Охотского и Берингова морей и относительно площади предельного распространения льда для Японского моря [Якунин, 1987, Плотников, 2002]. При характеристике ледовых условий используется классификация: умеренная ($\pm\sigma$ от нормы), большая (больше нормы на σ) и малая (меньше нормы на σ) ледовитость, определяется относительно нормы 1971–2000 гг., где σ – среднее квадратическое отклонение.

Японское море

Сезон 2015–2016 гг. по ледовым условиям для Японского моря в целом был близок к средним многолетним условиям, для отдельных периодов: третьей декады декабря – первой декады января и со второй декады марта до первой декады апреля, – мягким. Начало становления льда отмечалось, как обычно, в декабре, и этот процесс был близок к норме. В период максимальной ледовитости, в феврале, когда льдом было покрыто 42–47 % относительно площади предельного распространения льда, условия также были близки к норме. Максимум ледовитости пришелся на вторую декаду февраля. Активное ледоразрушение началось уже в марте и продолжалось в апреле, шло опережающими темпами. В апреле льдом было покрыто 3–4 % площади предельного распространения льда. В мае лед почти отсутствовал.

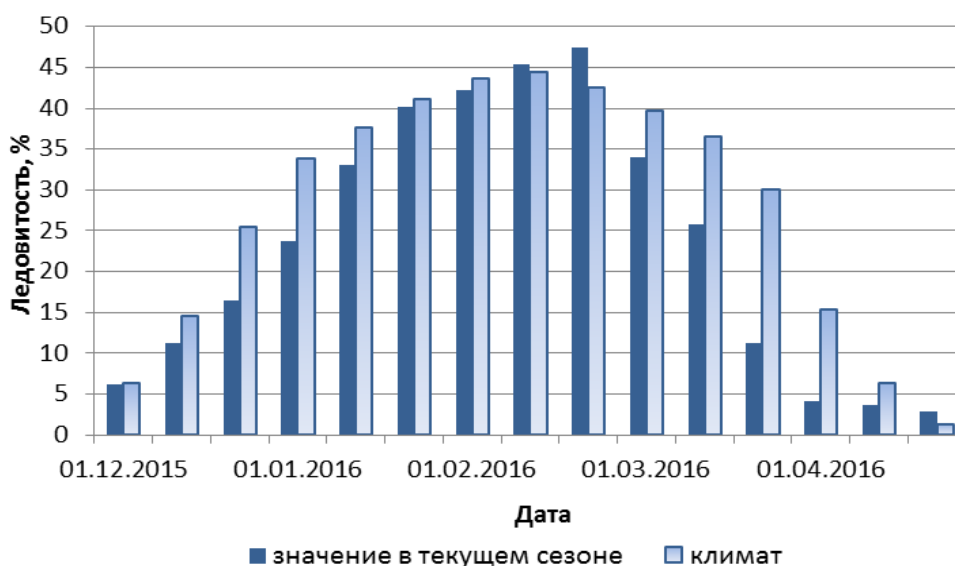


Рис. 6-1 Ледовитость Японского моря по декадам в текущем ледовом сезоне. Климатические значения ледовитости получены за период 1971–2000 гг.

Охотское море

Ледовые условия Охотского моря сезона 2015–2016 гг. можно считать умеренными с небольшими дефицитами льда в большинстве декад периода. В декабре-феврале традиционно отмечалось нарастание ледяного покрова с отставанием от нормы на $0,2-1,1\sigma$ (не относится к третьей декаде февраля). Максимальная ледовитость была достигнута в начале марта, что близко к норме по срокам и значению площади, занятой льдом. Активное разрушение льда началось в апреле и продолжалось в мае, в этот период дефицит ледовитости достигал $0,4-1,0\sigma$. В апреле площадь льда уменьшалась на 5, 9 и 21 % соответственно от декады к декаде. В конце месяца льдом было покрыто 32 % площади моря. В мае ледяной покров уменьшался на 6, 12 и 8 % от

декады к декаде, соответственно. В конце месяца льдом было покрыто около 6 % площади моря, что меньше нормы на 7 % (на 1,0 σ).

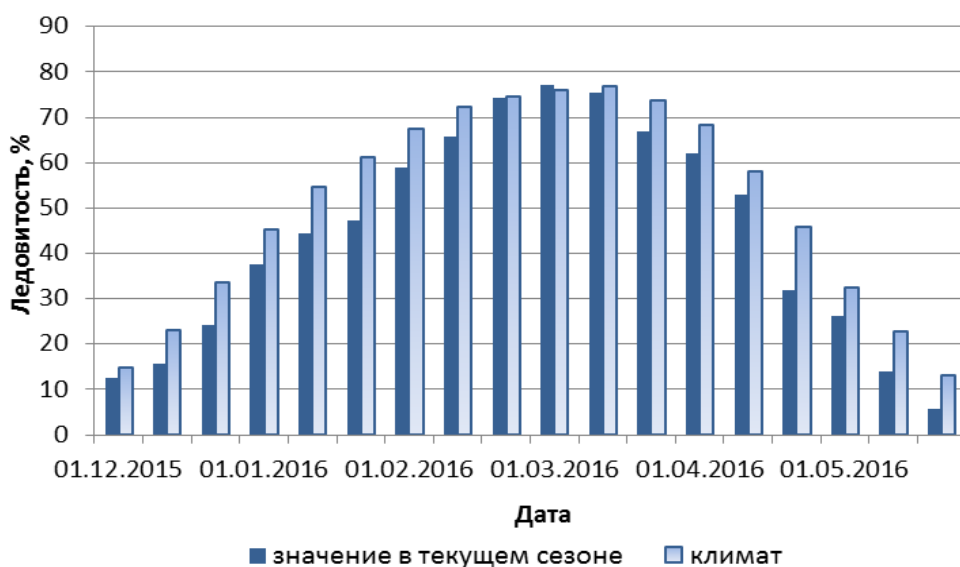


Рис. 6-2 Ледовитость Охотского моря по декадам в текущем ледовом сезоне. Климатические значения ледовитости получены за период 1971–2000 гг.

Берингово море

Ледовые условия Берингова моря сезона 2015–2016 гг. также можно считать умеренными с небольшими отклонениями от нормы в начале и в конце сезона. Самое активное ледообразование отмечалось в декабре, более медленное – в январе-марте. В конце декабря отмечался локальный максимум ледовитости, льдом было занято 26 % площади моря, что превысило норму на 9 % (на 1,3 σ). Основной максимум ледовитости наблюдался в последней декаде марта-начале апреля, площадь, занятая льдом достигала 36–37 %. Эти характеристики близки к норме. Во второй половине апреля началось разрушение льда, к концу апреля льдом было покрыто 23 % площади моря, что меньше нормы на 6 % (на 0,7 σ). В мае ледовитость моря продолжала уменьшаться на 5, 3 и 7 % от декады к декаде, соответственно; в последней декаде льдом было занято 9 % площади моря, что меньше нормы на 4 % (на 0,5 σ).

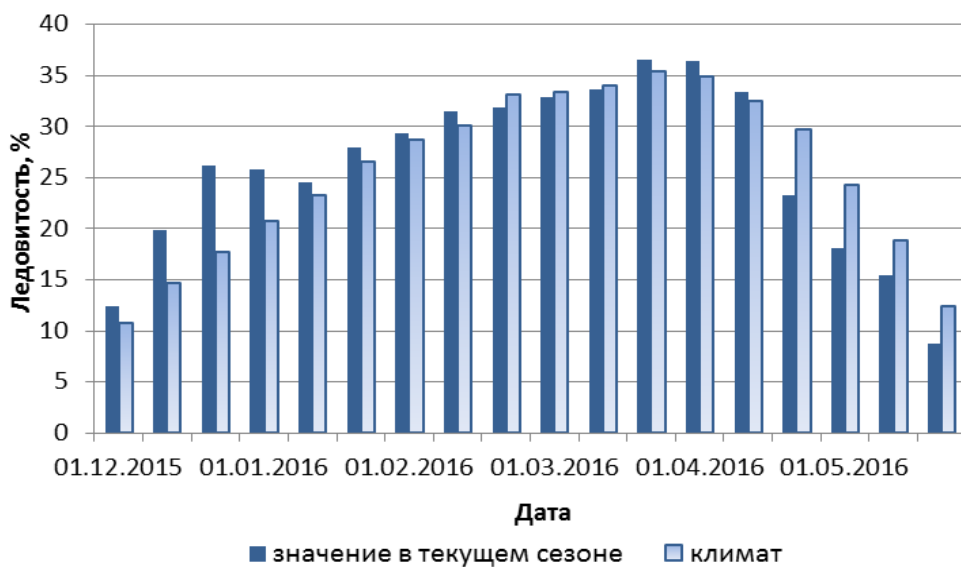


Рис. 6-3 Ледовитость Берингова моря по декадам в текущем ледовом сезоне. Климатические значения ледовитости получены за период 1971–2000 гг.